

稳态荧光及各向异性方法研究环糊精纳米管的生成

张春芬, 沈兴海*, 高宏成

北京大学化学与分子工程学院, 100871 北京

摘要 本文运用稳态荧光和稳态各向异性方法研究了双噁唑(BQ)和1,1'(联苯双-4-苯基)二噁唑

烯二酰亚胺(MDP-BMI)分子分别与 α -、 β -和 γ -环糊精(CD)的作用。实验结果表明,这两个客体分子与不同环糊精的作用不同。它们均可以和 γ -CD生成纳米管状聚集物,在MDP-BMI- β -CD体系中也有纳米管存在,而在其它情况下,只有简单的环糊精包合物生成。

主题词 纳米管;环糊精;荧光;荧光各向异性

中图分类号:O644.1 **文献标识码:**A **文章编号:**1000-0593(2003)02-0217-04

引言

环糊精是环状低聚糖类化合物,它可以选择性地包合许多无机或有机的化合物^[1,2]。人们已对环糊精包合物进行了广泛的研究。近年来,环糊精与某类分子形成的“分子项链型”聚集物,引起了人们的关注^[3~7]。Li 和 McGown 研究发现^[3] β -和 γ -CD 与反式-二苯基己三烯(DPH)作用能够生成纳米管状聚合物。Agbaria 和 Gill^[4,5] 实验证明,几个苯基取代的噁唑类分子,如2,5-二苯基1,3,4-二噁唑(PPD)、2,5-二苯基1,3-噁唑(PPO)、2-苯基-5-(4-二苯基)1,3,4-二噁唑(PBD)

单的1:2的包合物,但是可以和 γ -CD生成纳米管状聚合物。它们与 β -CD 的作用有所不同,BQ- β -CD 体系中存在1:2的包合物,而MDP-BMI- β -CD 体系中有纳米管存在。

1 实验

BQ(Acoros,纯度为99%)、 α -CD(Acoros,纯度为98%)和 γ -CD(Aldrich,纯度为99%)使用前未经处理。MDP-BMI(Acoros,纯度为95%)使用前经过硅胶色谱柱纯化。 β -CD(华北地区特种试剂开发中心)用三次水重结晶两次。实验中所用的其他试剂均为分析纯。若不特别说明,实验均于室温

和2,5-(4,4'-二苯基)1,3,4-二噁唑(BBOD)等可和 γ -CD形成2:1型包合物。当包合物浓度增加到一定值时,可聚集成长

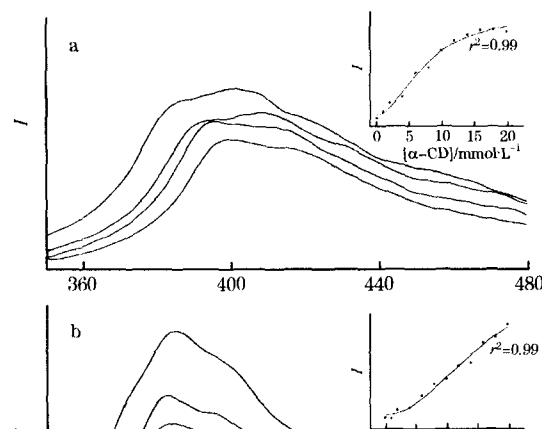
下进行。

实验测定采用SHIMADZU RF-5301 PC 荧光分光光度计

2 结果与讨论

 α -CD 体系 用简单的包合物模型(加 1:1 或 1:2)或几个包合2.1 BQ 和 MDP-BMI 与 α -CD 的作用

图 2 是 BQ(5×10^{-6} mol·L⁻¹) 和 MDP-BMI(8×10^{-6} mol·L⁻¹) 分子在 α -CD 水溶液中的荧光光谱图。由图可见, 随着 α -CD 的加入, 荧光分子的荧光强度加强, 且最大发射波长稍有蓝移。这表明荧光分子所处的环境极性减小, 它们由水溶液进入到环糊精内腔中, 形成了某种包合物。其中的插图分别为 BQ 和 MDP-BMI 分子的荧光发射强度随 α -CD 浓度的变化曲线。用非线性拟合方程分别计算 BQ- α -CD 和 MDP-BMI- α -CD 体系的结合常数和计量比^[1]时发现, BQ 和 MDP-BMI 均可以和 α -CD 生成 1:2 的包合物, 且对 BQ- α -CD 和 MDP-BMI- α -CD 体系, 结合常数分别为 $(1.73 \pm 0.29) \times 10^4$ (mol·L⁻¹)⁻² 和 $(3.20 \pm 0.56) \times 10^3$ (mol·L⁻¹)⁻²。



物模型的组合(如 1:1 + 1:2)进行拟合时, 均得不到好的结果。这说明在所研究的 MDP-BMI- β -CD 体系中形成了某种复杂的结构。

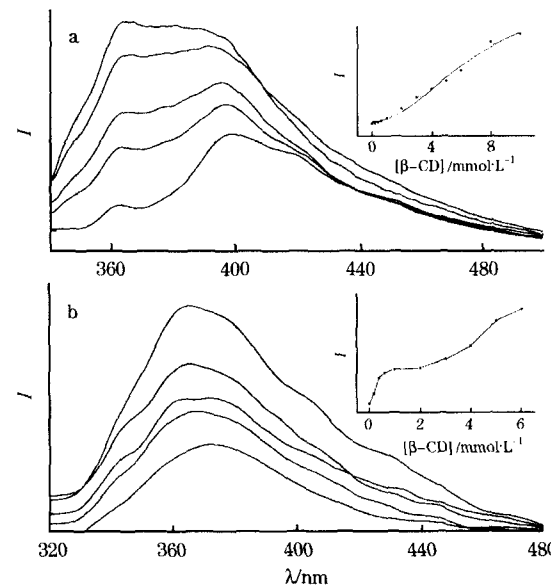


Fig.3 Fluorescence spectra of BQ(5.0×10^{-6} mol·L⁻¹) (a) and MDP-BMI(4.0×10^{-6} mol·L⁻¹) (b) in the aqueous solutions of β -CD. The inserted plots show the relative fluorescence intensity versus $[\beta\text{-CD}]$ from bottom to top, (a) $[(\beta\text{-CD})] = 0, 3, 6, 8, 10$ mmol·L⁻¹; (b) $[(\beta\text{-CD})] = 0, 2, 4, 6$ mmol·L⁻¹.

部分
CD 溶液中
使其在长波长
紫外吸收光谱的研
剂中,主要有三种吸收
峰为苯环上的 $\pi - \pi^*$ 跃迁
处的吸收峰为分子内电荷跃迁
其激发光谱图可见,在 γ -CD 溶液
环境中较大的红移,这也进一步表明了

纳米管的量, 在溶液中 BQ 和 γ -CD 的浓度为 1.3 mM, BQ- γ -CD 复合物的量为 1.3 mM, 单元的 6.0 μM, 作用时间为 12 h。环糊精分子尺寸对环糊精纳米管的形成有影响, β -CD 和 MDP-BMI 在 β -CD 纳米管中环糊精的直径为 10 nm 和 12 nm。虽然这个结果是很粗略的, 但是足以说明存在。

如果表面形貌的改变是由于三种环糊精的作用有关, 我们将要证明 MDP-BMI 分子在 γ -

溶液中, 可能存在纳米管状聚合物, 且 MDP-BMI 分子还能生成纳米管。在这些纳米管中, 环糊精彼此间通过和 β -CD 生成氢键连接^[7], 且荧光分子间也有部分的搭接。BQ- γ -CD 管的结构示意图见图 5。我们试图找到可与环糊精生成管的客体分子的普遍特征, 发现长、棒状的客体分子有利于长管的生成。而且环糊精的尺寸对纳米管的生成与否也起决定性的作用。用分子力学的方法对环糊精纳米管形成模拟正在进行中。

参 考 文 献

- 董林华. 环糊精化学, 北京: 科学出版社, 2001.
- Li S, Fiddy W C. *Chem. Rev.*, 1992, **92**: 1457.
- Liu J, McGown L B. *Science*, 1994, **264**: 249.
- Agbabiaka R A, Gill D. *J. Phys. Chem.*, 1992, **88**, **92**: 10.
- Agbabiaka R A, Gill D. *J. Photochem. Photobiol. A*, 1992, **58**: 1.
- Singhal K A, McCarley T D, Agbabiaka R A et al. *J. Photochem. Photobiol. A*, 1995, **91**: 205.
- Pitsikas G, Malliaris A C. *J. Am. Chem. Soc.*, 1976, **100**: 1222.
- Lebowicz J R. Principles of Circular Dichroism Spectroscopy. New York: Wiley, 1983.
- Bartolus P, Gallo G, Cicali G. *J. Am. Chem. Soc.*, 1990, **23**: 35.
- Khlebtsov N, Sytnikova O, Shklovskii V. *Wood. Log. Diagn.* (Wood. Log. Diagn.), 1998, **64**(4):6.
- Elfarfoush A A, El-Sherif R M, Soliman S A. *Anal. Chem.*, 1977, **15B**: 97.

Studies on the Formation of Cycloextrin Nanotube by Anisotropic Measurement

HANG Chun-¹*, SHEN Xing-¹*, and GAO Hong-² (Received)

¹Institute of Advanced Chemistry, College of Chemistry and Molecular Engineering,

Abstract Steady-state fluorescence and absorption spectra of BQ- γ -CD and BQ- β -CD in benzene and 1,1'-(methylene)diphenylbenzene were measured. The fluorescence quenching of BQ- γ -CD in benzene was more than that in 1,1'-(methylene)diphenylbenzene. The fluorescence quenching of BQ- β -CD in benzene was less than that in 1,1'-(methylene)diphenylbenzene. The absorption spectra of BQ- γ -CD and BQ- β -CD in benzene and 1,1'-(methylene)diphenylbenzene were measured. The absorption spectra of BQ- γ -CD and BQ- β -CD in benzene were similar, while the absorption spectra of BQ- γ -CD and BQ- β -CD in 1,1'-(methylene)diphenylbenzene were different. The absorption spectra of BQ- β -CD in benzene and 1,1'-(methylene)diphenylbenzene were similar.

Keywords

cycloextrin

nanotube

anisotropic

measurement